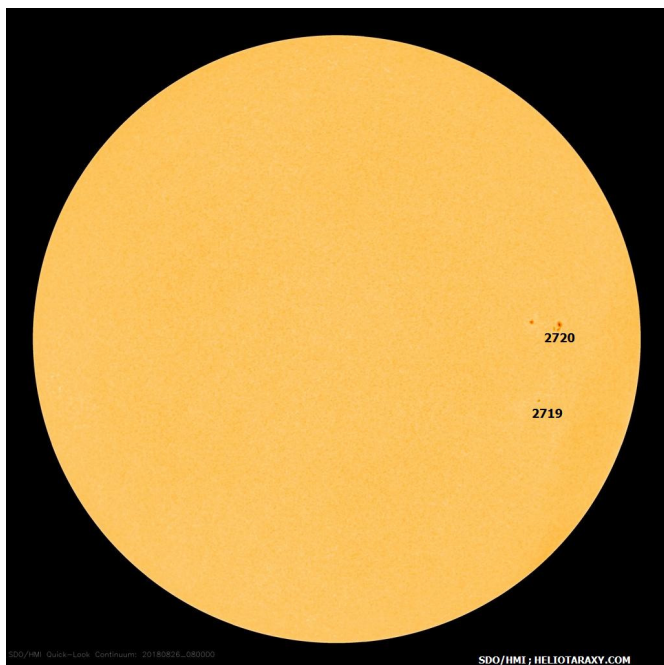


26 август 2018г/13ч15мин: В ход е най-мощната геомагнитна буря за 2018г (Kp=7; G3) ! ...

СЛЪНЧЕВА АКТИВНОСТ

Слънчевата активност през последното денонощие беше много ниска. Средното ниво на слънчевия рентгенов поток през последните часове е около A1.5. Активната област 2720 през последните 24 часа генерира няколко суб-изригвания от клас В. Не са регистрирани нови изхвърляния на коронана маса (СМЕ) по посока на Земята.

На слънчевия диск се виждат 2 групи петна (2719 и 2720). Областта 2719 се намира в южното полукълбо, а 2720 – в северното. Първата продължава да отслабва и в нея вече се вижда само едно петно. Еруптивната активност в областта 2720 през последните няколко часа спадна, но засега е трудно да се определи дали това е трайна тенденция. Няма потенциални източници за изригвания от средния мощностен клас М, за големи изригвания от клас Х, както и за протонни (СЕЧ) ерупции.



Слънчевият диск на 26 август 2018г (SDO)

Боулдърското число е 31 (по данни от снощи). Новият Брюкселски петнообразователен индекс днес по обяд е 30 (по данни от 12 наблюдения). Волфовото число е 26 (по наша оценка). Слънчевият радиоиндекс F10.7 е 70.

Днес, утре и на 28 август слънчевата активност ще бъде между много ниска и ниска. Вероятността за изригвания от средния клас M, за големи изригвания от клас X, както и за протонни (СЕЧ) ерупции е около и под 1% за всеки един от трите дни (26, 27 и 28 август). Потенциален източник за изригване от слабия мощностен клас C е активната област 2720. Слънчевият радиоиндекс F10.7 утре и на 28 август ще бъде между 70 и 75.

СЛЪНЧЕВ ВЯТЪР

Преминаващият покрай Земята облак от слънчева коронална маса (СМЕ) изглежда се оказа със значително по-голяма протяжност от очакваната и основната част от него достигна нашата планета с около едно денонощие по-късно от очакваното. Скоростта на слънчевия вятър реагира на това сравнително слабо. През последните 24 часа тя беше в диапазона 370–470 км/с, а в момента е приблизително 375 км/с. Вертикалната компонента (Vz) на междупланетното магнитно поле (ММП) обаче беше силно повлияна от преминаващия слънчев плазмен облак. Снощи след 21ч българско време тя трайно се ориентира в южна посока, а нейните стойности за часове наред се установиха около -12nT до -15nT . В момента Vz е приблизително равна на -14.5nT . Това стана причина за най-мощната от началото на 2018г планетарна геомагнитна буря с индекс Kp=7 (мощна буря) **(***!!!***)**.

Утре и на 28 август обстановката в близкото до нашата планета междупланетно пространство ще се успокои. През следващите два дни ще има условия за местни геомагнитни смущения (K=4) над отделни райони на Земята.

ГЕОФИЗИЧНА АКТИВНОСТ

През последните 24 часа геомагнитната обстановка се активизира до мощна планетарна геомагнитна буря (Kp=7;G3) **(***!!!***)**. Най-напред между 0ч и 03ч българско време имаше планетарно геомагнитно смущение (Kp=4). То прерастна в средна планетарна геомагнитна буря (Kp=6; G2) **(***!!!***)** в интервала 03ч–06ч, а след това сутринта между 06ч и 12ч планетарният Kp индекс достигна бал 7 (мощна буря) **(***!!!***)**. Над България геомагнитната обстановка беше смутена (K=4) вчера вечерта в интервала 21ч–24ч българско време, а сутринта в интервала 06ч–09ч имаше местна геомагнитна буря със средна мощност (K=6). По-късно между 09ч и 12ч тя отслабна до слаба буря (K=5).

Потокът на слънчевите протони с висока енергия ($E > 10 \text{ MeV}$; СЕЧ) на геостационарна орбита беше близо до обичайния фон.

Утре и на 28 август геомагнитната обстановка ще е между спокойна и смутена. Вероятността за геомагнитни смущения на средни ширини ($K=4$) за утре и за 28 август е по 15% нс ден. Вероятността за слаба геомагнитна буря ($K=5$) за утре и за 28 август е по 5% нс ден.

В рамките на 3-дневната прогноза (26 - 28 август) потокът на слънчевите протони с висока енергия ($E > 10 \text{ MeV}$; СЕЧ) на геостационарна орбита ще бъде близък до обичайния фон. Вероятността за протонна слънчева (СЕЧ) ерупция и оттам за радиационна буря е пренебрежима.

HELIOТА@АХУ.СОМ - ЦССЗМ Ст.Загора
2018-08-26/13ч15мин (UT = 10h15min)